

## ФОТОНЕЙТРОННЫЕ СВЕЧЕНИЯ НА ИЗОТОПАХ НИКЕЛЯ

Б.И.Горячев, Б.С.Ижханов, И.М.Капитонов, И.М.Лискарев,  
В.Г.Певченко, О.П.Певченко

С помощью нейтронного детектора состоящего из  $\text{BF}_3$  счетчиков и 64-канальной счетной системы на базе анализатора LP-4050 получены кривые выхода фотонейтронных реакций для двух изотопов никеля -  $\text{Ni}^{58}$  и  $\text{Ni}^{60}$ . Работа была выполнена на бетатроне НИИЯФ МГУ.

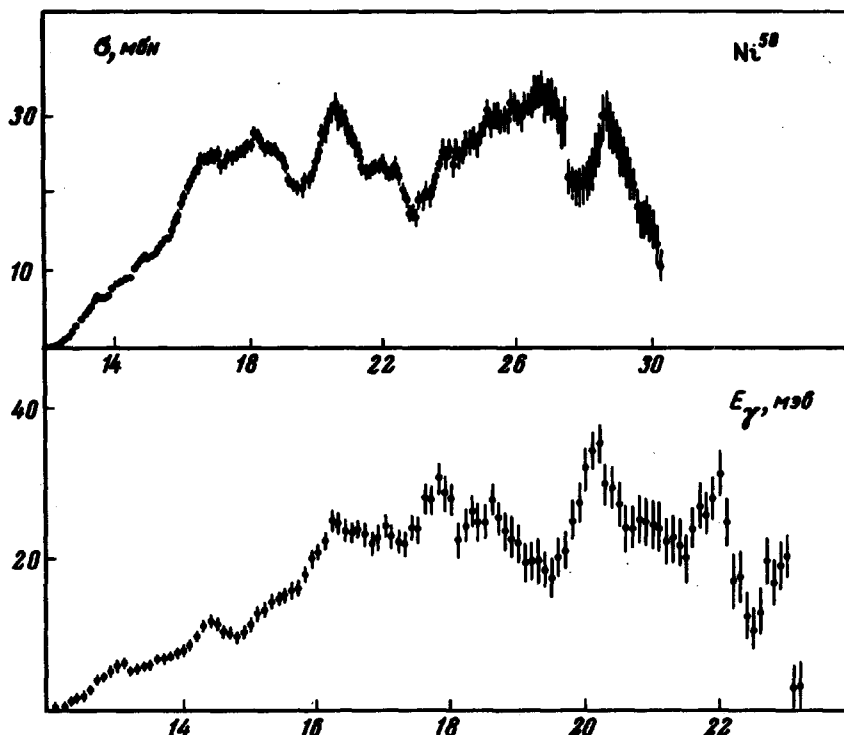


Рис.1. Эффективное сечение реакции  $\text{Ni}^{58}(\gamma, \text{n})$ . Верхний рисунок – анализ с шагом 1 Мэв; нижний рисунок – анализ с шагом 0,5 Мэв

Измерения проводились в области энергии  $\gamma$ -квантов от 7,5 до 33,0 Мэв с шагом 0,1 Мэв. Данные с анализатора поступали на ЭВМ М-20. Вычислительного центра МГУ, где осуществлялась их обработка по специальной программе вплоть до получения эффективных сечений по методу Пенфолда – Лейсса. Соответствующие сечения  $\sigma(\gamma, Tn) =$

$\sigma(\gamma, n) + \sigma(\gamma, np) + 2\sigma(\gamma, 2n)$  приведены на рис. 1 и 2. Сечения рассчитывались с энергетическим шагом 1 МэВ до  $E_\gamma = 30$  МэВ и с шагом 0,5 МэВ до  $E_\gamma = 23$  МэВ.

Сечения для обоих изотопов показывают отчетливую структуру. Выделяется широкий максимум с центром тяжести при 18 МэВ (анализ с шагом 1 МэВ), распадающийся на три максимума в области 16 – 19 МэВ при анализе 0,5 МэВ. Далее, хорошо проявляется максимум при 20 – 23 МэВ, который разделяется на два максимума при анализе 0,5 МэВ.

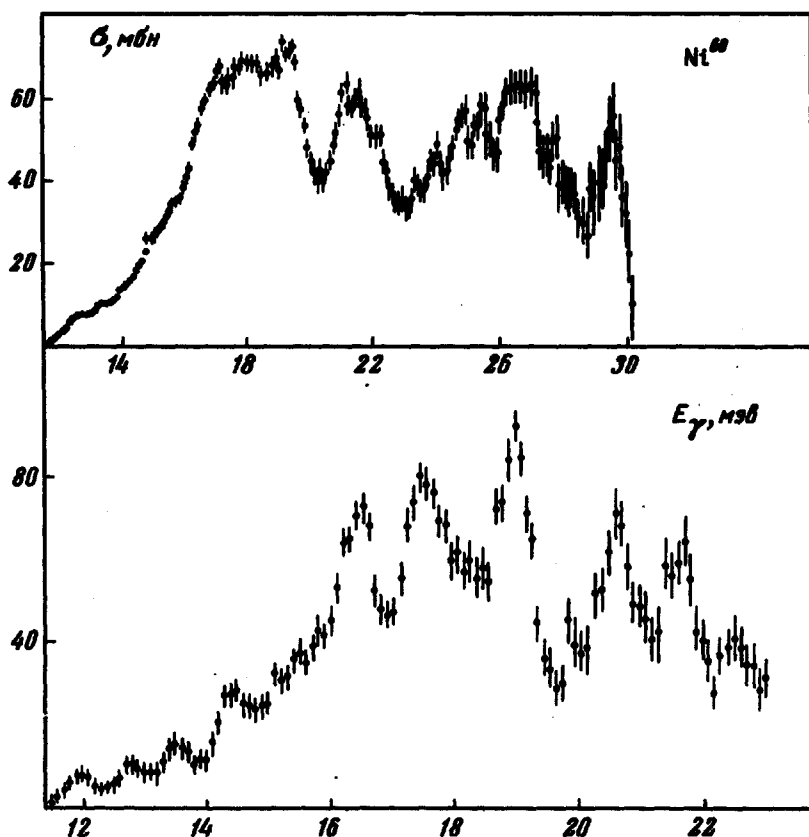


Рис.2. Эффективное сечение реакции  $Ni^{60}(\gamma, Ta)$ . Верхний рисунок – анализ с шагом 1 МэВ. Нижний рисунок – анализ с шагом 0,5 МэВ

Кроме того, в обоих сечениях хорошо разрешаются максимумы при 14,5 и 28 – 30 МэВ. Область кривой сечения 23 – 28 МэВ по-видимому состоит из ряда более узких резонансов.

Интегральные сечения реакции  $(\gamma, Ta)$  для  $Ni^{58}$  и  $Ni^{60}$  сильно отличаются друг от друга. Так для  $Ni^{58}$  до 30 МэВ  $\sigma_{int.} = 380 \pm 20$  мбн · МэВ,

а для  $Ni^{60}$  —  $\sigma_{int} = 800 \pm 50 \text{ мбн} \cdot Mэв$ . Оценка по формуле для дипольного правила сумм  $\sigma_{dip} = 60 NZ/A \text{ мбн} \cdot Mэв$  для обоих ядер дает примерно одну и ту же величину  $\sim 870 \text{ мбн} \cdot Mэв$ . Интегральные сечения в области  $23 - 30 Mэв$  оказались равными соответственно  $180 \pm 10 \text{ мбн} \cdot Mэв$  и  $330 \pm 17 \text{ мбн} \cdot Mэв$ .

Значительная величина сечения в области  $E_\gamma > 23 Mэв$  обусловлена вкладом реакции  $(\gamma, 2n)$ . Отсутствие надежной информации об этой реакции для  $Ni^{58}$  и  $Ni^{60}$  затрудняет оценку интегрального сечения реакции  $(\gamma, n) + (\gamma, pr) + (\gamma, 2n)$ .

Тот факт, что сечения для  $Ni^{58}$  и  $Ni^{60}$  по форме весьма близки друг к другу указывает на то, что в процессах вылета фотонейтронов из этих ядер большую роль играет возбуждение внутренних нуклонов.

В настоящее время отсутствуют расчеты достаточно хорошо объясняющие полученную структуру.

Научно-исследовательский институт  
ядерной физики  
Московского  
государственного университета  
им. М. В. Ломоносова

Поступило в редакцию  
28 мая 1968 г.